

**МЕХАНИКА
ЖИДКОСТИ И ГАЗА
№ 5 · 1979**

УДК 533.6.011.55

**СТАЦИОНАРНОЕ ОБТЕКАНИЕ НИЖНЕЙ ПОВЕРХНОСТИ
КУСОЧНО-ПЛОСКОГО ТРЕУГОЛЬНОГО КРЫЛА
СО СВЕРХЗВУКОВЫМИ ПЕРЕДНИМИ КРОМКАМИ**

С. М. ТЕР-МИНАСЯНЦ

(Москва)

Рассматриваемое крыло имеет любое конечное число изломов своей плоскости с линиями излома, пересекающимися в точке излома передней кромки. Этим в данной работе обобщается работа автора [1] по обтеканию нижней поверхности плоского крыла под конечным углом атаки, с конечным углом скольжения и сверхзвуковыми передними кромками. В работе [1] не были приведены расчеты. Частный случай обтекания без скольжения в той же постановке позже был рассмотрен в работе [2]. Однако она содержит ошибки, указанные в конце данной работы. Приведенные в [2] расчеты не верны.

В упомянутых работах течение газа предполагается возмущением однородного потока за плоским косым скачком уплотнения. Систематическое рассмотрение таких течений содержится в [3]. Здесь и в работе [1] используется и обобщается представление линеаризованных законов сохранения на ударном фронте как условий краевой задачи для аналитической функции комплексного переменного, полученного в [4, 5].

Представлены расчеты распределения давления по размаху для ряда различных режимов обтекания и сравнение коэффициентов давления в середине крыла с численным решением¹, изложенным частично в [6].

1. Описание течения. Изучается сверхзвуковое обтекание крыла, составленного из произвольных плоских угловых элементов, соединенных между собой под малыми углами друг к другу вдоль прямых линий, пересекающихся в одной точке. Свободные кромки крайних угловых элементов образуют изломанную переднюю кромку, к которой предполагается присоединенным пространственный скачок уплотнения. Параметры определяемого течения отличаются малыми величинами от параметров обтекания со скольжением клина конечного угла раствора α_1 , называемого ниже основным крылом. При заданных его углах атаки α и стреловидности χ (в плоскости крыла между перпендикуляром к передней кромке и проекцией вектора скорости набегающего потока) угол α_1 и угол скольжения β (между вектором скорости набегающего потока и передней кромкой) находятся по формулам

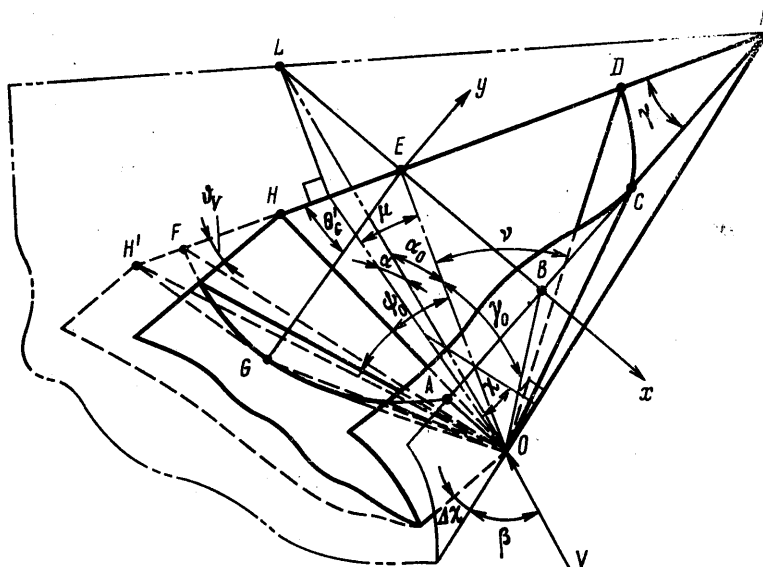
$$(1.1) \quad \beta = \arccos(\cos \alpha \sin \chi), \quad \alpha_1 = \arctg(\tan \alpha \sec \chi)$$

Во избежание загромождений сначала можно предположить, что крыло имеет лишь одну линию излома. Схема обтекания такого крыла дана на фиг. 1, где основное крыло показано совпадающим с одним из полукрыльев исходного. Возникающее коническое течение достаточно определить в плоскости $ABCNDF$, перпендикулярной вектору скорости у основного крыла и рассекающей конус возмущений с вершиной в точке O и осью OE по кругу единичного радиуса. Она называется ниже рабочей плоскостью.

¹ Лапыгин В. И. Обтекание и оптимальная форма V-образного крыла в сверхзвуковом потоке. Канд. дис., МГУ, 1973.

Линия излома OH , проходящая внутри упомянутого конуса, называется ниже дозвуковой, а проходящая вне его OH' — сверхзвуковой. Через последнюю проходит плоскость слабого скачка сжатия или разряжения, касающаяся конуса возмущений вдоль линии OG и ограничивающая область сверхзвукового обтекания малого излома стенки. (Построения, относящиеся к сверхзвуковой линии излома, на фиг. 1 выполнены штриховой линией; присоединенный к передней кромке искривленный скачок уплотнения показан одним и тем же для обоих случаев линии излома.)

Могут представиться случаи, когда линия OG должна была бы быть на той части конуса, которая срезана скачком уплотнения. Тогда этот сла-



Фиг. 1

бый скачок, пересекаясь, взаимодействует со скачком уплотнения. Анализ таких взаимодействий приведен в книге [³]; в случае конечных интенсивностей обоих скачков некоторые случаи представлены численным решением [⁷]. Результатом взаимодействия здесь опять будет слабый скачок (отраженный от сильного), плоскость которого будет касаться конуса возмущений. Но может также случиться, что линия касания OG попадет на ту часть конуса, которая в данном случае срезана плоскостью крыла. Слабый скачок при этом отразится от этой плоскости и либо коснется конуса возмущений, либо будет отражаться от сильного скачка и т. д.

Обтекание основного крыла характеризуют кроме α , β , χ и α_1 следующие параметры [¹, ⁸]:

число M невозмущенного потока $M_\infty = V_\infty/a_\infty$, где V_∞ — его скорость, а a_∞ — скорость звука в нем.

Угол γ_1 наклона скачка уплотнения в плоскости, перпендикулярной передней кромке (определяется через M_∞ , α_1 и β по формулам работы [⁹]).

Угол поворота потока в плоскости крыла μ и угол между нормалью к передней кромке и вектором скорости у крыла χ_0 .

$$(1.2) \quad \mu = \frac{\pi}{2} - \chi - \operatorname{arctg} \left[\frac{\cos \gamma_1 \operatorname{tg} \beta}{\cos(\gamma_1 - \alpha_1)} \right], \quad \chi_0 = \chi + \mu$$

Углы γ и γ_0 между линиями пересечения плоскостей основного крыла и скачка уплотнения с рабочей плоскостью и с плоскостью, проходящей че-

рез векторы скорости набегающего потока и потока у крыла (и перпендикулярной скачку уплотнения)

$$(1.3) \quad \operatorname{tg} \gamma = \operatorname{tg} (\gamma_1 - \alpha_1) \sin \chi_0, \quad \operatorname{tg} \gamma_0 = \operatorname{ctg} \chi_0 \sin \gamma$$

Угол α_0 между упомянутыми векторами скоростей

$$(1.4) \quad \alpha_0 = \arcsin (\sin \beta \sin \gamma_1) - \gamma_0$$

Число M потока у основного крыла и угол v полураствора конуса возмущений

$$(1.5) \quad M_1 = M_\infty \frac{a_\infty}{a_1} \sqrt{1 - \sin^2 \beta \left[1 - \frac{\cos^2 \gamma_1}{\cos^2 (\gamma_1 - \alpha_1)} \right]}, \quad \sin v = \frac{1}{M_1}$$

Отличие крыла от основного определяют углы ψ и $\psi_0 = \chi_0 - \psi$, составляемые линией излома с перпендикуляром к передней кромке основного крыла и с вектором скорости возле него, углы $\Delta \chi_{\pm}$ излома передней кромки (справа и слева от точки O , если смотреть со стороны рабочей плоскости; показанному на фиг. 1 углу $\Delta \chi$ соответствует индекс минус), угол ϑ_v излома плоскости крыла.

Новые значения углов атаки α_v и скольжения β_v частей крыла, повернутых на угол ϑ_v относительно линии излома, определяются выражениями

$$(1.6) \quad \sin \alpha_v = \sin \alpha \cos \vartheta_v + \cos \alpha \sin \vartheta_v \sin (\psi - \chi)$$

$$(1.7) \quad \begin{aligned} \cos \beta_v = & [\sin \vartheta_v \sin \alpha + \cos \vartheta_v \cos \alpha \sin (\chi - \psi)] \times \\ & \times \cos (\psi - \Delta \chi_{\pm}) - \cos \alpha \cos (\psi - \chi) \sin (\psi - \Delta \chi_{\pm}) \end{aligned}$$

Скачок уплотнения у основного крыла движется со скоростью U по газу перед своим фронтом (область ∞), вызывая за ним (область 1) движение газа со скоростью V . Связь между ними и выражения для давления p_1 , плотности ρ_1 и скорости звука a_1 в удобной форме даны в работе [10] формулами (1.2).

2. Краевая задача. Система прямоугольных автомодельных координат x, y вводится в рабочей плоскости $ABCNDEF$, имея началом точку E (см. фиг. 1) и ось y — параллельной плоскости скачка у основного крыла. Их можно считать полученными из физических x', y', z' с началом в полюсе O и осью z' вдоль линии OE по формулам $x = x'/z' \operatorname{tg} v$, $y = y'/z' \operatorname{tg} v$.

Искривленный участок AC ударного фронта представляется уравнением $x \operatorname{tg} v = \operatorname{tg} \gamma_0 + f(y) \sec \gamma_0$, где f — малое искривление в плоскости, нормальной к фронту скачка у основного крыла. Вдоль этого участка для безразмерных возмущений компонент скорости $u = u'/a_1 \cos v$, $v = v'/a_1 \cos v$ и давления $p = p'/\rho_1 a_1^2 (u', v'$ и p' — размерные возмущения) получаются выражения

$$(2.1) \quad \begin{aligned} u = & \frac{2}{\kappa+1} \frac{a_\infty}{a_1} \frac{1}{M_c^2} \frac{\cos \gamma_0}{\cos v} [(M_c^2 + 1) M_e \cos \gamma_0 - \\ & - (M_c^2 - 1) M_e \sin \gamma_0] (f - y f') \\ v = & - \frac{2}{\kappa+1} \frac{a_\infty}{a_1} \frac{M_c^2 - 1}{M_c^2} \frac{1}{\sin v} f', \quad p = \frac{4}{\kappa+1} \frac{p_\infty}{p_1} M_e M_c \cos \gamma_0 (f - y f') \end{aligned}$$

$$M_c = M_\infty \sin (\alpha_0 + \gamma_0) = U/a_\infty, \quad M_e = M_\infty \cos (\alpha_0 + \gamma_0)$$

Здесь κ — показатель политропы.

Уравнения пространственного стационарного движения газа для величин u, v, p в переменных x, y преобразуются в систему [11]

$$(2.2) \quad \begin{aligned} x \frac{\partial p}{\partial x} + y \frac{\partial p}{\partial y} &= \frac{\partial u}{\partial x} + \frac{\partial v}{\partial y}, \quad x \frac{\partial u}{\partial x} + y \frac{\partial u}{\partial y} = \frac{\partial p}{\partial x}, \\ x \frac{\partial v}{\partial x} + y \frac{\partial v}{\partial y} &= \frac{\partial p}{\partial y}. \end{aligned}$$

Исключение функций u и v , переход к полярным координатам $x=r \cos \theta$, $y=r \sin \theta$ и преобразование Буземана $r=2R/(1+R^2)$ приводят к уравнению Лапласа для функции p [11]. Из всех элементов контура области при этом изменяет очертания лишь участок ударного фронта AC . Его образом оказывается окружность $2R \cos \theta = m(1+R^2)$, ортогонально пересекающаяся с окружностью $R=1$. Вдоль этого элемента границы краевые условия для функции p можно записать в виде [11]

$$(2.3) \quad \frac{\partial p}{\partial n} / \frac{\partial p}{\partial s} = \frac{mA_0 \operatorname{tg} \theta - B_0 \operatorname{ctg} \theta}{\sqrt{1-m^2 \sec^2 \theta}}, \quad m = \operatorname{tg} \gamma_0 \operatorname{ctg} \nu$$

$$(2.4) \quad A_0 = A \frac{\cos \gamma_0}{\cos \nu} \left[1 - \frac{M_c^2 - 1}{M_c^2 + 1} \frac{M_c}{M_e} \operatorname{tg} \gamma_0 \right], \quad B_0 = \frac{B}{M_e} \frac{a_1}{a_\infty} \frac{\sec \gamma_0}{\sin \nu}$$

Здесь n и s — координаты вдоль внешней нормали и касательной к контуру, величины A и B даны формулами (3.1) работы [10].

Для записи краевого условия на стенке оси x, y поворачиваются относительно начала координат до совпадения оси y с нормалью к плоскости основного крыла. Пусть новые оси и проекции вектора скорости будут x_1, y_1 и u_1, v_1 .

В случае дозвуковой линии излома ($M_H < 1$) при переходе через нее размежная величина скачка нормальной к крылу составляющей скорости в линейном приближении равна

$$(2.5) \quad a_1 \cos \nu v_1 = \vartheta_v M_1 a_1 \sin \psi_0 \delta(x_1 - M_H), \quad M_H = \operatorname{ctg} \nu \operatorname{tg} \psi_0$$

где $\delta = 1$ при $x_1 \geq M_H$ и $\delta = 0$ при $x_1 < M_H$

Таким образом

$$\partial v_1 / \partial x_1 = \vartheta_v M_1 \sin \psi_0 \sec \nu \delta(x_1 - M_H)$$

где $\delta(x_1 - M_H)$ — дельта-функция Дирака.

В силу инвариантности системы (2.2) относительно поворота осей последнее ее уравнение позволяет получить отсюда условие для давления, которое после преобразования Буземана и подстановки значения M_H приобретает вид

$$\frac{\partial p}{\partial n} = \frac{\vartheta_v M_1^2 \sin^2 \psi_0 \delta(R - R_H)}{\sqrt{1 - M_1^2 \sin^2 \psi_0}}, \quad R_H = \frac{1 - \sqrt{1 - M_H^2}}{M_H}$$

В случае сверхзвуковой линии излома ($M_H \geq 1$) возмущение давления, вызванное обтеканием угла, равно

$$p = \frac{p'}{\rho_1 a_1^2} = \frac{\vartheta_v M_1 \sin \psi_0}{\sqrt{M_1^2 \sin^2 \psi_0 - 1}}$$

и, следовательно, вдоль одной из дуг Маха CD или AF

$$\frac{\partial p}{\partial \theta'} = \frac{\vartheta_v M_1^2 \sin^2 \psi_0}{\sqrt{M_1^2 \sin^2 \psi_0 - 1}} \delta(\theta' - \theta_{g'})$$

$$(2.6) \quad \sec \theta_{g'} = \operatorname{ctg} v \operatorname{tg} \psi_0, \quad \theta = -\gamma \pm \left(\frac{\pi}{2} - \theta' \right)$$

причем верхний знак соответствует дуге CD , нижний — дуге AF .

Образ области неоднородного потока в плоскости $\zeta = R \exp i\theta$ конформным преобразованием $z = z(\zeta)$ переводится в прямоугольник $0 < \sigma < l = -\frac{1}{2} \ln q$, $0 < \tau < \pi$ плоскости $z = \sigma + i\tau$; функция $z(\zeta)$ и выражение величины q даются формулами (3.1) и (3.3) работы [10], в которых величина M в данном случае имеет выражение

$$(2.7) \quad M = \operatorname{tg} \gamma_0 \operatorname{ctg} v \operatorname{cosec} \gamma$$

Ударному фронту соответствует правая ($\sigma = l$), а стенке — левая ($\sigma = 0$) стороны прямоугольника. Координаты образов точек G и H получают выражения

$$\sigma_G = \frac{1}{2} \ln \frac{1 - \cos(\theta_G - \theta_2)}{1 - \cos(\theta_G - \theta_1)}, \quad \tau_G = 0, \pi$$

$$\sigma_H = 0, \quad \tau_H = \arccos \frac{1 + MM_H}{M + M_H}$$

входящие сюда величины даны формулами (2.5), (2.6), (2.7).

Пусть теперь крыло имеет m ($i = 1, 2, \dots, m$) дозвуковых и n ($j = 1, 2, \dots, n$) сверхзвуковых линий излома (предполагается, что это второе назначение символов m , n , i , j не вызовет недоразумений). Допускается такая совокупность ϑ_{vi} , ϑ_{vj} , что каждое из них и алгебраическая сумма любого их числа, относящегося к последовательно расположенным линиям излома, есть величина малая.

В плоскости z краевое условие на всем контуре прямоугольника может быть записано единым соотношением

$$(2.8) \quad P \frac{\partial p}{\partial \sigma} - Q \frac{\partial p}{\partial \tau} = S$$

причем на образце ударного фронта, при $\sigma = l$, $0 < \tau < \pi$, $S = 0$ и $p/Q = b(\tau)$, где $b(\tau)$ получается подстановкой обращения преобразования $z = z(\zeta)$ при $\sigma = l$ в правую часть (2.3) и дается формулой (3.5) работы [10], в которой в данном случае $m_0 = \sec \gamma \sqrt{1 - \operatorname{ctg}^2 v} \operatorname{tg}^2 \gamma_0$. На остальных участках контура прямоугольника — образах стенки и маховских дуг — задается производная $\partial p / \partial \sigma$, т. е. $P = 1$, $Q = 0$ и для выбранного числа линий излома

$$(2.9) \quad S = M_1^2 \sum_{i=1}^m \vartheta_{vi} \sin \psi_{0i} \frac{\delta(\tau - \tau_{Hi})}{\sqrt{1 - M_1^2 \sin^2 \psi_{0i}}} +$$

$$+ M_1^2 \sum_{j=1}^n \vartheta_{vj} \sin \psi_{0j} \frac{\delta(\sigma - \sigma_{Gj})}{\sqrt{M_1^2 \sin^2 \psi_{0j} - 1}} =$$

$$= \sum_{i=1}^m s_i \delta(\tau - \tau_{H_i}) + \sum_{j=1}^n s_j \delta(\sigma - \sigma_{G_j})$$

$$(2.10) \quad \psi_0 = \chi_0 - \psi_i$$

Углы ψ_0 и ψ_i сносятся с поверхности кусочно-плоского крыла на основное и измеряются в его плоскости.

Должны быть удовлетворены еще два нормировочных условия, первое из которых получается из соотношений (2.1) при помощи уравнений (2.2), а второе есть просто формула Ньютона — Лейбница

$$(2.12) \quad \int_0^\pi \frac{\partial p}{\partial \tau} \frac{d\tau}{y(\tau)} = \frac{2}{\kappa+1} \frac{M_c^2 - 1}{M_c^2} \frac{a_\infty}{a_1} \frac{\gamma'' - \gamma'}{B_0 \sin v} \cos \gamma = c_1,$$

$$\int_0^\pi \frac{\partial p}{\partial \tau} d\tau = p_+ - p_- = c_2$$

Величины γ'' , γ' , p_+ , p_- и ниже еще и v_+ и v_- — возмущения угла γ и значения функций p и v , относящиеся к однородным потокам, примыкающим к неоднородному, соответственно вдоль дуг Маха CD и FA или их частей, имеющих своими концами точки A и C . Величины p_+ , p_- определены формулами (2.1), в которых $f' = \tan v \cos \gamma_0 \tan \gamma'$ в точке A и $f' = -\tan v \cos \gamma_0 \tan \gamma''$ в точке C .

Если обтекание крыла таково, что скачки давления, вызванные сверхзвуковыми линиями излома, не пересекаются со скачком уплотнения, присоединенным к передней кромке, то правые части нормировочных условий (2.12) нетрудно представить точно

$$(2.13) \quad c_1 = (v_+ - v_-)/B_0, \quad c_2 = (p_{1+} - p_{1-})/\kappa p_1$$

Размерные величины $p_{1\pm}$ находятся по формулам для однородных потоков у скользящих клиньев. В случае одной дозвуковой линии излома (независимо от числа сверхзвуковых)

$$(2.14) \quad v_\pm = M_1 [(\sin \psi_{0\pm} \cos \theta_{v\pm} \cos \psi_0 - \cos \psi_{0\pm} \sin \psi_0) \cos \gamma + \sin \psi_0 \sin \theta_{v\pm} \sin \gamma] \sec v a_{1\pm}/a_1$$

В случае любого конечного их числа следует найти углы между плоскими частями крыла, примыкающими с периферийных сторон к другим частям вдоль крайних дозвуковых линий излома, и основным крылом. Это определит некоторое крыло с одной дозвуковой линией излома, для которого правые части (2.13), (2.14) совпадают с таковыми для рассматриваемого. Указанные углы определяются только геометрическими параметрами крыла элементарным путем; формулы здесь опущены. Входящие в формулу (2.14) величины $\psi_{0\pm}$ относятся к полукрыльям, рассматриваемым каждое как независимое скользящее крыло.

Соотношения (2.8) — (2.14) дают постановку неоднородной краевой задачи Гильберта для функции

$$(2.15) \quad \Gamma = \frac{\partial p}{\partial \sigma} - i \frac{\partial p}{\partial \tau}$$

аналитической в прямоугольнике $0 < \sigma < l$, $0 < \tau < \pi$ [12, 13].

3. Решение для давления. Решение однородной задачи, когда величина S в краевом условии (2.8) на всем контуре равна нулю, соответствует плоскому крылу. Оно приведено в работе [1] с некоторым отличием обозначений и в п. 4 работы [10] для задачи дифракции. Его можно записать в виде $\Gamma_0 = c\Phi(z)(\omega(z) - \xi_0(z_0))$. Решение изучаемой здесь задачи представляется функцией

$$(3.1) \quad \Gamma(z) = \Phi(z) \left[c(\omega(z) - \xi_0(z_0)) - (\omega^2 + 1) \left(\sum_{i=1}^m \frac{c_{0i}}{\omega - \xi_{Hi}} + \sum_{j=1}^n \frac{c_{0j}}{\omega - \xi_{Gj}} \right) \right]$$

Индексы Hi и Gj у величины ξ соответствуют до- и сверхзвуковым линиям излома. Введение обозначения $\Phi_0(\xi) = -i\Phi(\xi)$ позволяет представить действительные константы c_{0i} и c_{0j} в виде

$$\begin{aligned} c_{0i} &= \frac{s_i |\xi_{\tau}'(\tau_{Hi})|}{\pi \Phi_0(\xi_{Hi})(\xi_{Hi}^2 + 1)}, \quad c_{0j} = \frac{s_j |\xi_{\sigma}'(\sigma_{Gj})|}{\pi \Phi_0(\xi_{Gj})(\xi_{Gj}^2 + 1)} \\ \xi_{\tau}' &= \frac{2K}{\pi} \frac{k'}{\sqrt{k}} \frac{\vartheta_1(\tau, q)\vartheta_+(\tau, q)}{\vartheta_3^2(\tau, q)}, \\ \xi_{\sigma}' &= \frac{2K}{\pi} \frac{k'}{\sqrt{k}} \frac{\vartheta_1(\sigma, q')\vartheta_2(\sigma, q')}{\vartheta_3^2(\sigma, q')} \end{aligned}$$

Здесь $\vartheta_1 - \vartheta_4$ — эллиптические тэта-функции, а K, k, k', q, q' — характеризующие их параметры [14]. Функции $\Phi(z) = \Lambda(z)L_1(z)L_2(z)$, $\omega(z) = -\xi + i\eta$ в произвольной точке прямоугольной области и на участках границы DF, FA и AC в тех же обозначениях, что и здесь, представлены в п. 4 работы [10]. На участке CD функции $\Lambda(z)$ и $L_1(z)$ те же, что и на участке FA , функции $\omega(z)$ — другого знака, а функция $L_2(z)$ является обратной величиной.

Контурные значения решения (3.1) имеют вид

$$(3.2) \quad \begin{aligned} \Gamma^-(z) &= \Phi^-(z) \left[c(\xi(z) - \xi_0(z_0)) - (\xi^2 + 1) \times \right. \\ &\times \left. \left(\sum_{i=1}^m \frac{c_{0i}}{\xi - \xi_{Hi}} + \sum_{j=1}^n \frac{c_{0j}}{\xi - \xi_{Gj}} \right) \right] + \sum_{i=1}^m s_i \delta(\tau - \tau_{Hi}) + \\ &+ \sum_{j=1}^n s_j \delta(\sigma - \sigma_{Gj}) \end{aligned}$$

Для констант c и $\xi_0(z_0)$ из условий (2.12) получается система уравнений, решение которой дается формулами (5.5) работы [10], если четыре первых из входящих туда интегралов $I_1 - I_6$ считать имеющими те же выражения (следует лишь опустить множитель $\sqrt{1-t^2}$ перед знаками интегралов I_1 и I_2), а два последних заменить суммами

$$I_5 = \sum_{i=1}^m \int_0^\pi \frac{\Psi(\tau)\vartheta_2(\tau, q)(\xi^2 + 1)}{\xi(l + i\tau) - \xi(i\tau_{Hi})} d\tau +$$

$$\begin{aligned}
& + \sum_{j=1}^n \int_0^\pi \frac{\Psi(\tau) \vartheta_2(\tau, q) (\xi^2 + 1)}{\xi(l+i\tau) - \xi(\sigma_{Gj})} d\tau \\
I_6 = & \sum_{i=1}^m \int_0^\pi \frac{\Psi(\tau) \vartheta_2(\tau, q) (\xi^2 + 1)}{\xi(l+i\tau) - \xi(i\tau_{Hi})} \frac{d\tau}{y(\tau)} + \\
& + \sum_{j=1}^n \int_0^\pi \frac{\Psi(\tau) \vartheta_2(\tau, q) (\xi^2 + 1)}{\xi(l+i\tau) - \xi(\sigma_{Gj})} \frac{d\tau}{y(\tau)}
\end{aligned}$$

Формула (3.2) позволяет написать выражение производной $\partial p / \partial \tau$ вдоль образа размаха крыла

$$\begin{aligned}
\frac{\partial p}{\partial \tau} = & \Phi_0(i\tau) \left[c(\xi(i\tau) - \xi_0(z_0)) - (\xi^2 + 1) \times \right. \\
& \times \left. \left(\sum_{i=1}^m \frac{c_{0i}}{\xi(i\tau) - \xi(i\tau_{Hi})} + \sum_{j=1}^n \frac{c_{0j}}{\xi(i\tau) - \xi(\sigma_{Gj})} \right) \right]
\end{aligned}$$

Видно, что над дозвуковыми линиями излома возмущение давления p имеет логарифмические особенности.

Физическая координата r произвольной точки участка поверхности крыла, возле которого поток неоднороден, вычисляется по формуле $r = |(M \cos \tau - 1)/(M - \cos \tau)|$ и располагается справа от точки E (см. фиг. 1), если $\tau > \arg \cos M^{-1}$, и слева от нее в противоположном случае.

4. Форма скачка уплотнения. Разрешение второго из соотношений (2.1) относительно f' , дифференцирование его по y приводят к дифференциальному уравнению для функции f . Решение в исходных физических координатах имеет вид

$$\begin{aligned}
f(y) = & [y - \operatorname{ctg}(\chi_0 + \Delta\chi_+) \cos \gamma] \gamma' \cos \gamma_0 - \\
& - \frac{\chi + 1}{2M_c} \frac{a_1}{a_\infty} \frac{B \sin v}{1 - M_c^{-2}} \int_0^{v(y)} [y - t(\lambda)] \frac{\partial p}{\partial \lambda} \frac{d\lambda}{t(\lambda)}
\end{aligned}$$

Здесь зависимости $t(\lambda)$ и $y(\tau)$ тождественны. Функция $\partial p(l+i\tau)/\partial \tau = -\operatorname{Im} \Gamma(l+i\tau)$ дана формулой (3.2). Константы первого слагаемого отвечают правому полукрылу.

5. Численные результаты. Для оценки качества решения и иллюстрации возможностей метода были проведены расчеты распределения давления вдоль нижней поверхности размаха для ряда вариантов плоского крыла и крыла с одной линией излома.

Давление определялось по одной из формул

$$(5.1) \quad p = p_D - \int_{\pi}^{\tau(r)} (\partial p / \partial \tau) d\tau, \quad p = p_F + \int_0^{\tau(r)} (\partial p / \partial \tau) d\tau$$

где индексы указывают на точки (см. фиг. 1). Все необходимые значения давления и скоростей, относящиеся к однородным потокам, вычислялись точно.

В таблице приведено сравнение полученных коэффициентов C_p в средних точках размаха (II) с данными расчетов, относящихся к работе [6] (I) при численном решении нелинейной задачи для 18 вариантов симметричного обтекания симметричного плоского крыла с указанием их.

№	M_∞	α	$\Delta\chi_{\pm}$	C_p		№	M_∞	α	$\Delta\chi_{\pm}$	C_p	
				I	II					I	II
1	6.8	6°	60°	0.0411	0.0407	10	10	15°	45°21'	0.167	0.167
2	6.8	10°	60°	0.0882	0.0865	11	10	21°	45°21'	0.305	0.304
3	10°	8°32'	45°	0.0512	0.0518	12	10	3°	60°	0.0129	0.0129
4	10°	11°51'	45°	0.0978	0.0986	13	10	9°	60°	0.0663	0.0660
5	10°	15°07'	45°	0.156	0.158	14	10	15°	60°	0.161	0.160
6	4	18°51'	32°	0.309	0.309	15	10	21°	60°	0.290	0.290
7	4	11°49'	59°2'	0.137	0.137	16	4	5°	50°	0.0470	0.0465
8	10	3°	45°21'	0.0134	0.0135	17	4	10°	50°	0.114	0.113
9	10	9°	45°21'	0.0686	0.0686	18	4	15°	50°	0,206	0,202

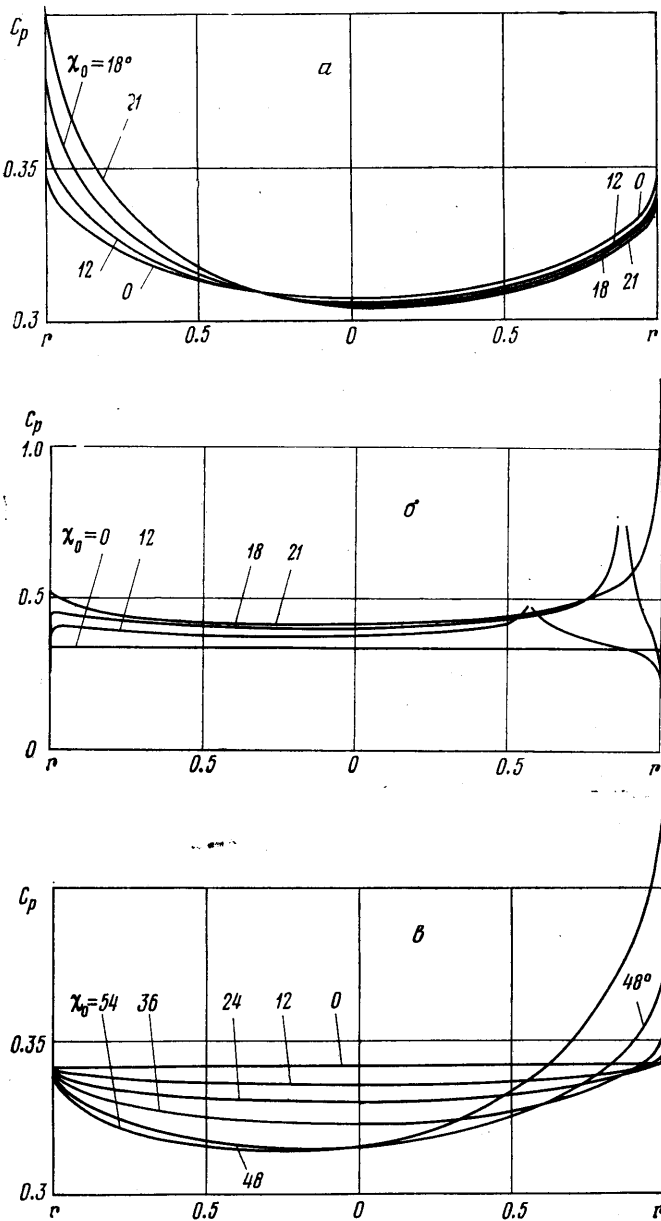
Имеющиеся небольшие расхождения не указывают на большую степень близости параметров относящихся к ним потоков к каким-либо критическим значениям, чем в случаях других вариантов.

Сравнение с расчетами [15] по линейной задаче о симметричном неавтомодельном обтекании крыла указывает на совпадение при малых $\Delta\chi_{\pm}$ (равных в радианах примерно ± 0.01 и даже ± 0.1), однако при $\Delta\chi_{\pm} = \pm 30^\circ$, например в случаях $M_\infty = 2$, $\alpha = 13^\circ 11'$ и $M_\infty = 5$, $\alpha = 30^\circ 28'$, давление в середине крыла в единицах, использованных в работе [15], получается равным 0.409 и 0.755, а по данным настоящей работы – 0.547 и 0.912. Результаты работы [15] нельзя, таким образом, рассматривать как обобщающие решение, представленное в [1] и здесь. Это сравнение иллюстрирует роль уточнения нормировочных условий.

Однако даже при полном совпадении результатов в средних точках, отличие в той или иной мере проявляется в областях крыла, обтекаемых периферийными участками неоднородных потоков, и состоит прежде всего в том, что эти потоки, согласно численному решению нелинейной задачи, обтекают несколько более широкую зону крыла по размаху, чем дает диаметр сечения рабочей плоскостью конуса возмущений. Попытка уточнения может состоять в построении двух конусов возмущений с вершинами в той же точке, которые будут соответствовать однородным потокам, примыкающим с боков к неоднородному, и в растяжении построенной кривой давления до границы области неоднородного потока, даваемой обоими этими конусами. Такой прием составляет элемент метода растяжения координат [16], примененный в [2]. Для достижения этой цели на каждом из приведенных графиков можно соответственно сжать масштаб оси абсцисс.

На фиг. 2 приведены кривые C_p по размаху крыла (в сечении основного крыла, перпендикулярном вектору скорости у него) для некоторых типов течений. Каждый из них, включая в себя симметричное обтекание, имеет какое-то качество, лишающее его свойств симметрии. Кривые a отвечают обтеканию плоского симметричного крыла, охарактеризованного в варианте 6 (см. таблицу) при наличии скольжения ($\chi = 0, 12, 18, 21^\circ$); кривые b – того же крыла с дополнительным осложнением – углами поперечного V $\vartheta_{v\pm} = \pm 10^\circ$ в каждом из указанных вариантов. Кривые c соответствуют $M_\infty = 4$, $\alpha = 18^\circ 51'$ (как в варианте 6), они показывают влияние изменения угла среза правой кромки от значения $\Delta\chi_+ = 0$ до значения $\Delta\chi_+ = 54^\circ$ с шагом 6° ; при отсутствии среза левой кромки $\Delta\chi_- = 0$.

6. О работе Гуи [2]. В этой работе проведено рассмотрение частного симметричного случая обтекания плоского треугольного крыла точно в той же постановке, в которой решение этой задачи изложено раньше в работе [1] и в данной работе. В силу единственности решения должно было бы быть абсолютное совпадение расчетов данной работы с имеющимися в работе [2], тем более что автор ее укрепляет уверенность в их точности, говоря о полном слиянии в срединной части крыла трех его вариантов с численным решением нелинейной задачи [17].



Фиг. 2

Но совпадения не получается. Всесторонние проверки¹ обнаруживают в работе^[2] две ошибки. Первая из них есть случайная техническая ошибка: в формуле (17) этой работы в числителе выражения для величины C пропущен множитель 2. Используя ошибочную формулу, автор делает вторую, уже не случайную ошибку. Он определяет давление по его производной вдоль размаха не тем единствено

¹ В частности, был проведен расчет решения Лайтхилла задачи дифракции^[5], так как ей соответствует та же краевая задача, что и в работе^[2]. Расчет показал, что ошибка в работе^[5], указанная в примечании переводчика (С. С. Григорян) к русскому изданию обзорной статьи Луддлока^[18], есть лишь описка в тексте, не повлиявшая на вычисления. Расчеты Лайтхилла верны.

вильным путем, который в настоящей работе выражен формулой (5.1) (какой-либо из них), а выводит некую «стыковочную» формулу, на основании которой давление в середине размаха крыла берет равным лишь интегральному члену (5.1), непрерывно переводя его вдоль размаха к значению, даваемому внеинтегральным членом в периферийном однородном потоке. Таким путем получается случайное совпадение с численным решением [17] (решения [6] и [17] при этом совпадают) в случае двух вариантов (17 и 18 таблицы). Другие варианты работы [2] с результатами настоящей работы, естественно, не совпадают.

Расчеты по формулам работы [2] показывают, однако, что после устранения обеих указанных ошибок совпадение полностью достигается.

Автор выражает глубокую благодарность В. И. Лапыгину, предоставившему большое число вариантов его численного решения, и Л. Е. Пекуровскому за помощь при проведении расчетов.

Поступила 12 VI 1978

ЛИТЕРАТУРА

1. Тер-Минасянц С. М. Задача о сверхзвуковом обтекании нижней поверхности треугольного крыла. Изв. АН СССР, МЖГ, 1966, № 6.
2. Hui W. H. Supersonic and hypersonic flow with attached shock waves over delta wings. Proc. Roy. Soc. A., 1971, vol. 325. No. 1561.
3. Черный Г. Г. Течения газа с большой сверхзвуковой скоростью. М., Физматгиз, 1959.
4. Lighthill M. J. The diffraction of blast. I. Proc. Roy. Soc. London, A., 1949, vol. 198, No. 1055.
5. Lighthill M. J. The diffraction of blast. 2. Proc. Roy. Soc. London, A., 1950, vol. 200, No. 1063.
6. Лапыгин В. И. Расчет стационарного обтекания V-образного крыла методом установления. Изв. АН СССР, МЖГ, 1971, 3.
7. Росляков Г. С. Взаимодействие плоских скачков одного направления. В сб.: Численные методы в газовой динамике. Вып. 4. М., Изд-во Моск. ун-та, 1965.
8. Бабаев Д. А. Численное решение задачи обтекания нижней поверхности треугольного крыла сверхзвуковым потоком. Ж. вычисл. матем. и матем. физ., 1962, т. 2, № 6.
9. Briggs J. L. Comment on Calculation of Oblique Shock Waves. AIAA Journal, 1964, vol. 2, No. 5.
10. Тер-Минасянц С. М. Дифракция плоской волны на клине, движущемся со сверхзвуковой скоростью. ПММ, 1971, т. 35, № 2.
11. Chester W. The diffraction and reflection of shock waves. Quart. J. Mech. and Appl. Math., 1954, vol. 7, No. 1, Честер. Дифракция и отражение ударных волн. «Механика», Сб. перев. и обзор. иностр. период. лит., 1956, № 3
12. Гахов Ф. Д. Краевые задачи. М., Физматгиз, 1963.
13. Мусхелишвили Н. И. Сингулярные интегральные уравнения. М., Физматгиз, 1962.
14. Уиттекер Э. Т. и Ватсон Д. Н. Курс современного анализа. Ч. 2. М., Физматгиз, 1963.
15. Фоллэ М. И. Линейная задача для треугольных и V-образных крыльев. Изв. АН СССР, МЖГ, 1973, № 2.
16. Lighthill M. J. A technique for rendering approximate solutions to physical problems uniformly valid. Philos. Mag., 1949, vol. 40, No. 311.
17. Воскресенский Г. П. Численное решение задачи обтекания произвольной поверхности треугольного крыла в области сжатия сверхзвуковым потоком газа. Изв. АН СССР, МЖГ, 1968, № 4.
18. Лудлофф Г. Ф. Аэродинамика взрывных волн. В сб.: Проблемы механики. М., Изд-во иностр. лит., 1955.